### Interazioni Elettrodeboli

prof. Francesco Ragusa Università di Milano

Lezione n. 15

18.11.2025

Esperimento di Frauenfelder Hamiltoniana del decadimento  $\beta$ Proiezioni chirali

anno accademico 2025-2026

#### Misura della Polarizzazione

- Per misurare la polarizzazione di un elettrone occorre chiedersi se ci sono effetti misurabili dipendenti dalla polarizzazione nella interazione di un elettrone o con un campo coulombiano o con un elettrone atomico
- Fra i metodi principali
  - Mott scattering
    - Scattering con il campo Coulombiano del nucleo di un atomo pesante
    - Sensibile solo polarizzazione trasversale alla direzione di moto
  - Møller scattering
    - Interazione dell'elettrone che si vuole analizzare con un elettrone atomico
    - L'elettrone atomico deve essere polarizzato
  - Bhabha scattering
    - Come il precedente ma per analizzare la polarizzazione di positroni
- Analizzeremo solo un esperimento che usa il primo metodo
  - Purtroppo lo scattering Coulombiano dipende dalla polarizzazione solo al secondo ordine dell'approssimazione di Born
    - L'effetto è piccolo: si usano nuclei pesanti (alto Z)
  - Inoltre, come già osservato, è sensibile solo ad una polarizzazione trasversale

- Come trasformare la polarizzazione longitudinale in trasversale ?
  - Ovviamente con un campo elettromagnetico
- Per descrivere l'effetto di un campo elettromagnetico classico sullo spin di una particella si può utilizzare l'equazione semiclassica (Bargman, Michel, Telegdi)<sup>†</sup>

$$\hbar \frac{ds^{\mu}}{d\tau} = 2\mathfrak{m}F^{\mu\nu}s_{\nu} - 2u^{\mu}\mathfrak{m}'F^{\nu\lambda}u_{\nu}s_{\lambda}$$



momento magnetico

 $\mathfrak{m}'$ 

momento magnetico anomalo

- L'equazione descrive il moto del vettore di polarizzazione  $s^\mu$  sotto l'effetto di un campo elettromagnetico
  - Il campo non deve essere troppo intenso
  - Vale per qualunque campo "macroscopico"
  - Solo per campi a livello microscopico potrebbe essere non valida
- È più intuitivo utilizzare una equazione che descriva il moto del vettore  $\xi$  nel sistema di riposo istantaneo della particella
  - In questo sistema l'equazione diventa (assumiamo  $\mathfrak{m}'=0$ )

$$\hbar \frac{d\mathbf{\xi}}{dt} = \frac{2\mathbf{m}}{\gamma} \mathbf{\xi} \times \mathbf{B} + \frac{2\mathbf{m}}{\gamma + 1} \mathbf{\xi} \times (\mathbf{E} \times \mathbf{\beta})$$

• †Landau, Lifshitz - Quantum Electrodynamics §41p,151 - Pergamon Press 1982

- Il sistema utilizzato per ruotare la polarizzazione per elettroni di bassa energia fu inventato nel 1951 da Tolhoek e de Groot
  - Una guida circolare realizza un campo elettrico radiale (B=0)
  - Gli elettroni di energia opportuna seguono una trajettoria circolare
    - Il campo elettrico fornisce una forza centripeta
- Se l'energia dell'elettrone non è elevata (  $\gamma pprox 1$  )
  - Il moto è praticamente non relativistico
  - Vedremo che la polarizzazione non risente del campo elettrico
    - La direzione dello spin rimane invariata
- Se l'energia dell'elettrone è elevata  $(\gamma\gg 1$  )
  - Lo spin sente l'effetto del campo elettrico e precessa
- Calcoliamo adesso la rotazione del vettore polarizzazione senza assunzioni sulla velocità dell'elettrone

- Iniziamo calcolando il raggio dell'orbita in funzione del campo elettrico  ${\bf E}$  e della velocità
  - La legge di Newton

$$\frac{d\mathbf{p}}{dt} = e\mathbf{E}$$

- La variazione di quantità di moto dell'elettrone quando ha percorso una lunghezza  $Rd\theta$  è  $d\mathbf{p}=\mathbf{p}d\theta$ 
  - Pertanto  $d\theta = \frac{\left| d\mathbf{p} \right|}{|\mathbf{p}|} = \frac{|\mathbf{F}| \, dt}{|\mathbf{p}|} = \frac{eEdt}{|\mathbf{p}|} = \frac{eEdt}{mc\gamma\beta}$
- La velocità angolare è

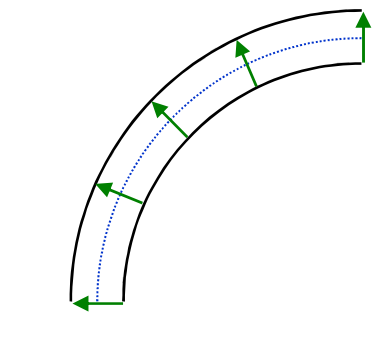
$$\omega_{\mathbf{p}} = \frac{d\theta}{dt} = \frac{eE}{mc\gamma\beta}$$

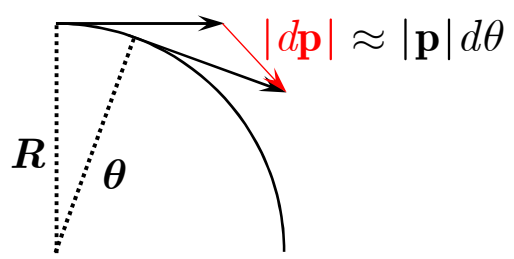
• Il periodo

$$T = \frac{2\pi}{\omega_{\mathbf{p}}} = 2\pi \frac{mc\gamma\beta}{eE}$$

• A questo punto calcoliamo il raggio dell'orbita

$$2\pi R = \beta c T = \frac{2\pi \beta m c^2 \gamma \beta}{eE}$$





 $R = \frac{mc^2}{eE} \gamma \beta^2$ 

- Studiamo adesso la precessione dello spin
  - Ricordiamo l'equazione Bargman, Michel, Telegdi (BMT) con  $\mathfrak{m}'=0$

$$\hbar \frac{d\mathbf{\xi}}{dt} = \frac{2\mathbf{m}}{\gamma} \mathbf{\xi} \times \mathbf{B} + \frac{2\mathbf{m}}{\gamma + 1} \mathbf{\xi} \times (\mathbf{E} \times \mathbf{\beta})$$

$$\mathbf{m} = \frac{e\hbar}{2mc}$$

• Per B=0 diventa

$$\hbar \frac{d\mathbf{\xi}}{dt} = \frac{2\mathbf{m}}{\gamma + 1} \mathbf{\xi} \times (\mathbf{E} \times \mathbf{\beta})$$

- Il vettore  $E \times \beta$  è perpendicolare al piano individuato da E e  $\beta$
- Il vettore  $\xi \times (E \times \beta)$  è sul piano ed è perpendicolare a  $\xi$

• Definiamo 
$$\Omega_{\xi}$$

• Riscriviamo l'equazione di BMT • Definiamo 
$$\Omega_{\xi}$$
  $\Omega_{\xi} = \frac{2\mathfrak{m}}{\hbar \left(\gamma + 1\right)}\mathbf{E} \times \boldsymbol{\beta}$   $\frac{d\boldsymbol{\xi}}{dt} = \boldsymbol{\xi} \times \boldsymbol{\Omega}_{\xi}$  • Descrive una precessione



- · Lo spin quindi precessa
- La variazione dello spin  $d\xi$  è sul piano

$$d\theta = \frac{|d\xi|}{|\xi|} = \frac{|\xi \times \Omega_{\xi}|}{|\xi|} dt$$

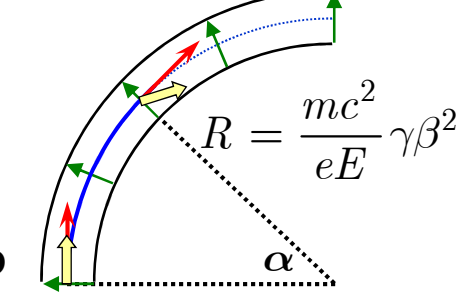
$$d\theta = \frac{|d\xi|}{|\xi|} = \frac{|\xi \times \Omega_{\xi}|}{|\xi|} dt \qquad \frac{d\theta}{dt} = \omega_{\xi} = |\Omega_{\xi}| = \frac{2\mathfrak{m}}{\hbar (\gamma + 1)} |\mathbf{E}| |\beta| = \frac{2e\hbar}{\hbar 2mc(\gamma + 1)} |\mathbf{E}| \beta$$

$$\omega_{\xi} = \frac{2eE}{2mc(\gamma+1)}\beta$$

• Supponiamo adesso che l'elettrone abbia percorso un tratto  $\Delta \ell$  dell'arco

$$\Delta \ell = R \Delta \alpha = \frac{mc^2}{eE} \gamma \beta^2 \Delta \alpha$$

- Vogliamo calcolare l'angolo fra
  - La quantità di moto p
  - Il vettore di polarizzazione ξ
- ullet Per percorrere la distanza  $\Delta\ell$  l'elettrone impiega un tempo



$$\Delta T = \frac{\Delta \ell}{\beta c} = \frac{mc}{eE} \gamma \beta \Delta \alpha$$

• Ricordiamo la velocità della precessione dello spin  $\omega_{\xi} = \frac{2eE}{2mc(\gamma+1)}\beta$ 

$$\omega_{\xi} = \frac{2eE}{2mc(\gamma + 1)}\beta$$

• Pertanto il vettore di polarizzazione  $\xi$  e il vettore p ruotano rispettivamente

$$\Delta \theta_{\mathbf{p}} = \Delta \alpha \qquad \Delta \theta_{\xi} = \omega_{\xi} \Delta T = \frac{eE}{mc(\gamma + 1)} \beta \frac{mc}{eE} \gamma \beta \Delta \alpha = \frac{\gamma \beta^{2}}{(\gamma + 1)} \Delta \alpha$$

• Eliminiamo  $oldsymbol{eta}$ 

$$\frac{1}{\gamma + 1} = \frac{\gamma - 1}{\gamma^2 - 1} = \frac{\gamma - 1}{\frac{1}{1 - \beta^2} - 1} = \frac{\gamma - 1}{\gamma^2 \beta^2} \to \frac{\gamma \beta^2}{\gamma + 1} = \frac{\gamma - 1}{\gamma}$$

Sostituendo

$$\Delta \theta_{\xi} = \frac{\gamma - 1}{\gamma} \Delta \alpha$$

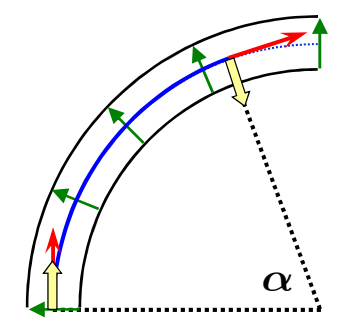
• Pertanto dopo aver percorso uno spazio  $\Delta \ell = R \Delta lpha$  l'angolo fra i due vettori è

$$\Delta \theta_{\mathbf{p}\xi} \equiv \Delta \theta_{\mathbf{p}} - \Delta \theta_{\xi} = \left(1 - \frac{\gamma - 1}{\gamma}\right) \Delta \alpha$$

$$\Delta \theta_{\mathbf{p}\xi} = \frac{\Delta \alpha}{\gamma}$$

 Pertanto, affinché la quantità di moto e lo spin siano perpendicolari deve essere

$$\Delta\theta_{\mathbf{p}\xi} = \frac{\pi}{2} = \frac{\Delta\alpha}{\gamma}$$

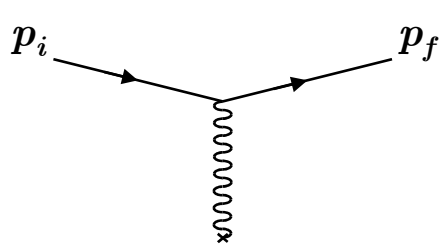


- ullet Dato un elettrone di energia  $mc^2\gamma$  la guida deve avere una lunghezza  $R\Deltalpha$
- L'angolo  $\Delta lpha$  è dato da

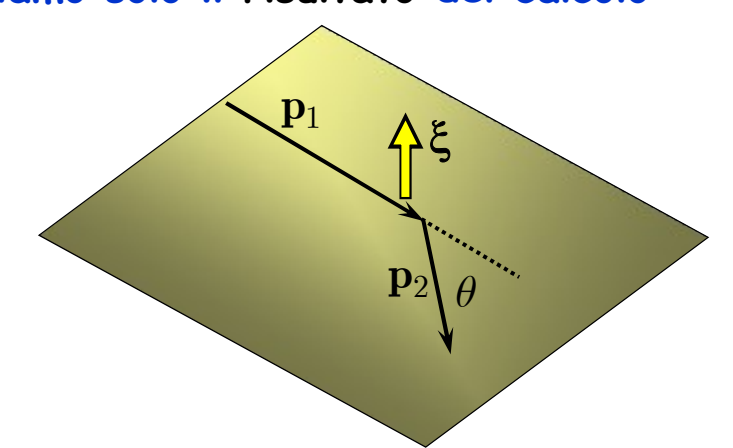
$$\Delta \alpha = \gamma \frac{\pi}{2}$$

### Sezione d'urto Mott

- La sezione d'urto Mott è relativa all'interazione di un elettrone con il campo Coulombiano
  - Il bersaglio ha massa infinita
  - Si tiene conto dello spin dell'elettrone con la teoria di Dirac



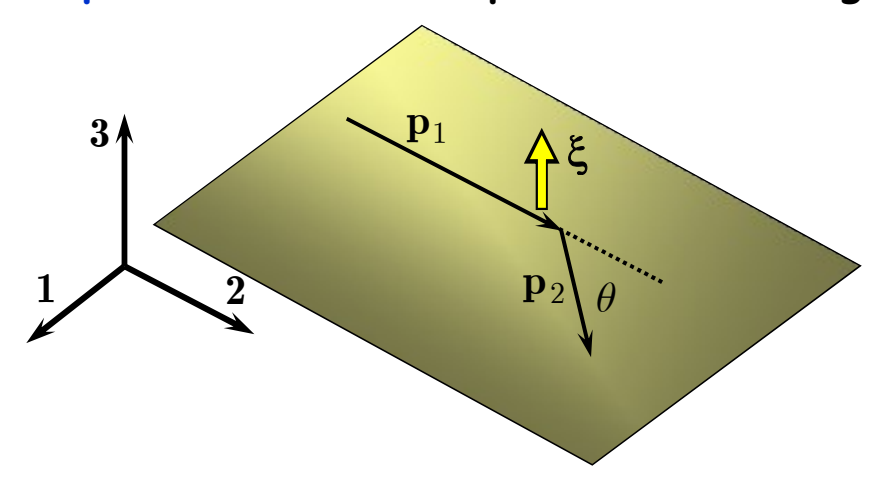
- Abbiamo fatto questo calcolo al primo ordine della teoria perturbativa
  - A questo ordine non appaiono effetti legati alla polarizzazione
  - Una dipendenza dalla polarizzazione compare al secondo ordine<sup>†</sup>
- Diamo solo il risultato del calcolo



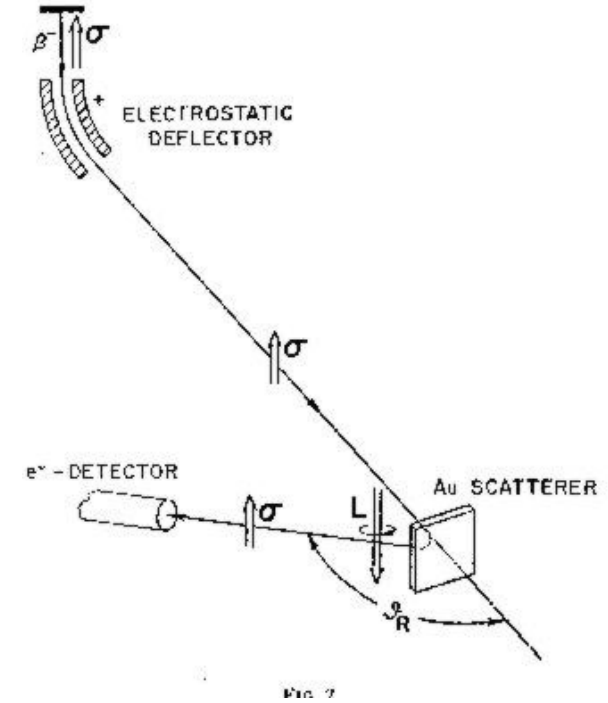
$$\sigma(\theta, \xi) \sim I(\theta) + \frac{D(\theta)}{|\sin \theta|} \hat{\mathbf{p}}_1 \times \hat{\mathbf{p}}_2 \cdot \xi$$

- Per le funzioni  $I(\theta)$  e  $D(\theta)$  vedi Landau<sup>†</sup>
- †vedi Landau Lifshitz Quantum Electrodynamics 12.1 pag 534

• La figura mostra schematicamente l'apparato dell'esperimento di Frauenfelder per la misura della polarizzazione degli elettroni di un decadimento  $\beta$ 



$$\sigma(\theta, \boldsymbol{\xi}) \sim I(\theta) + \frac{D(\theta)}{|\sin \theta|} \hat{\mathbf{p}}_1 \times \hat{\mathbf{p}}_2 \cdot \boldsymbol{\xi}$$



• Notiamo che se l'angolo di deflessione  $\theta_1$  va a sinistra il prodotto vettoriale  $\mathbf{p}_1 \times \mathbf{p}_2$  cambia segno (cambia il segno della componente 1 di  $p_2$ )

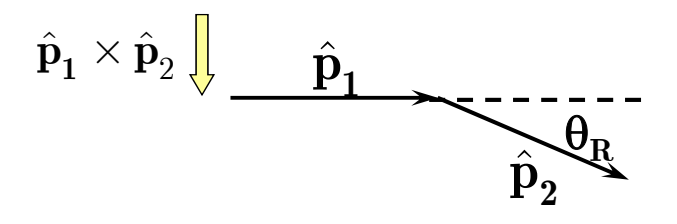
$$\left(\hat{\mathbf{p}}_{1} \times \hat{\mathbf{p}}_{2}\right)_{3} = \varepsilon_{3jk} \hat{p}_{1}^{j} \hat{p}_{2}^{k} = \varepsilon_{321} \hat{p}_{1}^{2} \hat{p}_{2}^{1}$$

- Supponiamo adesso che gli elettroni siano completamente polarizzati
  - In un caso paralleli alla quantità di moto (RH)
  - Nell'altro caso antiparalleli (LH)
- Dopo la rotazione gli elettroni sono ancora completamente polarizzati
  - Nel primo caso verso l'alto
  - Nel secondo verso il basso
- Ricordiamo la formula della sezione d'urto
  - Assumiamo il piano  $\mathbf{p}_1 \mathbf{p}_2$  perpendicolare a  $\xi$
- $\sigma\left( heta, \mathbf{\xi}\right) \sim I\left( heta
  ight) + rac{D\left( heta
  ight)}{\left|\sin heta
  ight|}\hat{\mathbf{p}}_{1} imes \hat{\mathbf{p}}_{2} \cdot \mathbf{\xi}$

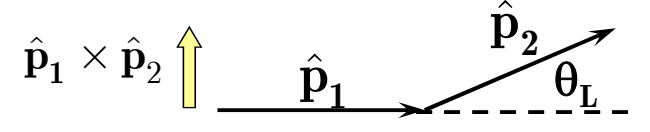
- · Le misure da fare sono
  - La sezione d'urto per un angolo  $\theta_R$

• Spin up 
$$\sigma(\theta_R, \uparrow) \sim I(\theta_R) - D(\theta_R)$$
  $\xi$ 

• Spin down 
$$\sigma(\theta_R, \Downarrow) \sim I(\theta_R) + D(\theta_R)$$
 §



- La sezione d'urto per un angolo  $heta_L$  opposto a  $heta_R$ 
  - Spin up  $\sigma(\theta_L, \uparrow) \sim I(\theta_L) + D(\theta_L)$   $\hat{\mathbf{p}}_1 \times \hat{\mathbf{p}}_2$   $\hat{\mathbf{p}}_1 \times \hat{\mathbf{p}}_2$
  - Spin down  $\sigma(\theta_L, \Downarrow) \sim I(\theta_L) D(\theta_L)$  §  $\xi$



- Nell'esperimento gli elettroni non sono completamente polarizzati
  - ullet La misura della polarizzazione  $\wp$  è l'obbiettivo dell'esperimento
  - · La polarizzazione degli elettroni è data da
    - $N_+$  polarizzati up (probabilità  $rac{N_+}{N}$  )
    - $N_-$  polarizzati down (probabilità $rac{N_-}{N}$  )
- La sezione d'urto osservata per un angolo  $\theta_R$  è

$$\sigma\!\left(\theta_{R}^{}\right) = \frac{N_{+}^{}}{N} \sigma\!\left(\theta_{R}^{}, \uparrow\!\!\!\!\uparrow\right) + \frac{N_{-}^{}}{N} \sigma\!\left(\theta_{R}^{}, \downarrow\!\!\!\!\downarrow\right)$$

$$\sigma(\theta_R) \sim I(\theta_R) - \wp D(\theta_R)$$

 $\wp = \frac{N_{+} - N_{-}}{N_{+} + N_{-}} \quad N = N_{+} + N_{-}$ 

• Analogamente, per un angolo  $heta_L$  si osserva

$$\sigma(\theta_L) = \frac{N_+}{N} \sigma(\theta_L, \uparrow) + \frac{N_-}{N} \sigma(\theta_L, \downarrow)$$

$$\sigma(\theta_L) \sim I(\theta_L) + \wp D(\theta_L)$$

• Definiamo l'asimmetria 
$$\delta$$
 
$$\delta = \frac{\sigma(\theta_L) - \sigma(\theta_R)}{\sigma(\theta_L) + \sigma(\theta_R)}$$

· Ci mettiamo nella condizione

$$\theta_R = -\theta_L \equiv \theta$$

• Si può verificare che

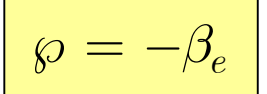
$$I(\theta) = I(-\theta)$$

$$D(\theta) = D(-\theta)$$

$$\delta = \frac{D(\theta)}{I(\theta)} \wp \equiv S(\theta) \wp$$

- $S(\theta)$  è noto: la misura di  $\delta$  permette di misurare  $\wp$
- $\delta = \frac{D(\theta)}{I(\theta)} \wp \equiv S(\theta) \wp$

- Osservazioni
  - $S(\theta)$  dipende anche dall'energia dell'elettrone
  - È necessario che gli angoli  $\theta_R$  e  $\theta_L$  siano perfettamente simmetrici
  - L'esperimento è sensibile solo alla polarizzazione trasversale
    - Un errore nella rotazione dello spin porta ad un errore sistematico su  $\wp$
  - ullet L'effetto aumenta al crescere di Z
    - Si usano metalli pesanti come l'oro
- Per ottimizzare l'esperimento si può cercare l'angolo al quale l'effetto è più grande
- Occorre però tenere presente che al crescere dell'angolo la sezione d'urto diminuisce
  - Occorre trovare un compromesso tra la dimensione dell'effetto misurato e l'errore statistico con cui esso viene determinato
- La tabella mostra i risultati del primo esperimento
  - Con esperimenti successivi



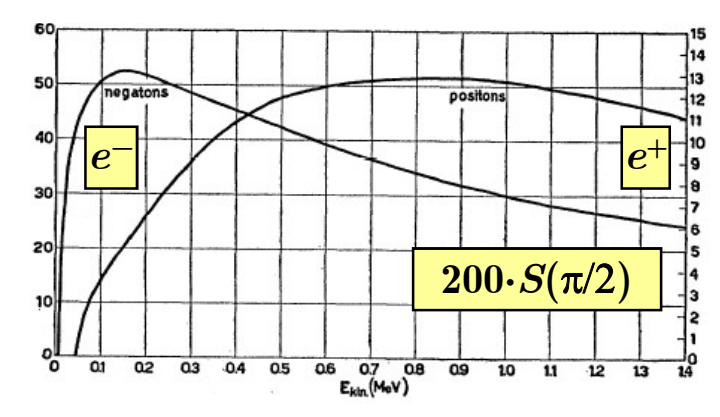


Table I. The polarization of electrons from Co.

Electron energy kev	$\beta = v/c$	Gold scat- tering foil mg/cm <sup>2</sup>	Left-right asymmetry L/R	Longitudinal polarization P
50	0.41	0.15	1.03±0.03	-0.04
68	0.47	0.15	$1.13\pm0.02$	-0.16
77	0.49	0.05	$1.35\pm0.06$	-0.40
77	0.49	0.15	$1.30 \pm 0.09$	-0.35

# Determinazione di $C_A$ e $C_V$

• Abbiamo già visto che la misura della vita media di nuclei permette di determinare la costante di accoppiamento  $G_{\!eta}$ 

$$\lambda_F = rac{1}{ au} = rac{G_eta^2}{2\pi^3} \xi f$$

ullet Tuttavia, il parametro  $\xi$  contiene una dipendenza dal rapporto  $C_A/\,C_V$ 

$$\xi = |\langle 1 \rangle|^2 + \frac{C_A^2}{C_V^2} |\langle \sigma \rangle|^2$$

• I decadimenti di Fermi contengono solo il termine <1> e permettono pertanto la determinazione di  $G_{\beta}^{\dagger}$  senza ulteriori informazioni

$$G_{\beta} = 1.13578 \pm 0.00027 \times 10^{-5} \,\text{GeV}^{-2}$$

• Ulteriori misure di su transizioni di Gamov-Teller o miste permettono la determinazione di  $|C_A/C_V|$ 

$$\left| \frac{C_A}{C_V} \right| = 1.2695 \pm 0.0029$$

†Blucher, Marciano PDG 2006 J. Phys. G 33 pag. 677
 Ceccucci, Ligeti, Sakai PDG 2006 J. Phys. G 33 pag. 138

## Determinazione di $C_A$ e $C_V$

- Il segno relativo delle due costanti si può determinare solo con la misura di una grandezza osservabile che dipenda dal prodotto  $C_A \cdot C_V$  e quindi dall'interferenza fra termini di Fermi e Gamov-Teller
  - Occorre pertanto studiare transizioni di nuclei polarizzati
- Per nuclei non polarizzati l'elemento di matrice contiene il termine  $1+a\beta_e{\cdot}\beta_{
  u}$
- Osservabili che dipendono dal vettore di polarizzazione del nucleo  $\sigma$  contengono termini del tipo

$$1 + a\beta_e \cdot \beta_{\nu} + b\hat{\sigma} \cdot \beta_e + c\hat{\sigma} \cdot \beta_{\nu}$$

• Per neutroni polarizzati si trova

$$b = -2\frac{C_A^2 + C_V C_A}{C_V^2 + 3C_A^2} \quad c = 2\frac{C_A^2 - C_V C_A}{C_V^2 + 3C_A^2}$$

• Misure di correlazione angolare fra la direzione dell'elettrone (o del neutrino) e lo spin nucleare mostrano che il segno relativo è positivo

$$\frac{C_A}{C_V} = +1.2695 \pm 0.0029$$

### L'Hamiltoniana del Decadimento eta

- Gli esperimenti descritti hanno permesso la determinazione della forma dell'Hamiltoniana del decadimento  $\beta$ 
  - Sono stati esclusi i termini Scalare e Tensoriale

$$C_S = C_T = 0$$

Sono state determinate le costanti degli accoppiamenti Vettoriale e Assiale

$$G_{\beta} = GC_{V}$$
  $\frac{C_{A}}{C_{V}} = \kappa$   $\alpha_{V} = \alpha_{A} = 1$ 

ullet L'Hamiltoniana pertanto contiene solo i termini V e A

$$\mathcal{H}_{I}' = G\left[C_{V}\left(\overline{\psi}_{p}\gamma^{\mu}\psi_{n}\right)\left(\overline{\psi}_{e}\left(1+\gamma^{5}\right)\gamma_{\mu}\psi_{\nu}\right) + C_{A}\left(\overline{\psi}_{p}\gamma^{5}\gamma^{\mu}\psi_{n}\right)\left(\overline{\psi}_{e}\left(1+\gamma^{5}\right)\gamma^{5}\gamma_{\mu}\psi_{\nu}\right)\right]$$

ullet Il termine assiale può essere semplificato utilizzando  $(\gamma^5)^2=I$ 

$$\mathcal{H}_{I}' = G ig[ C_{V} ig( \overline{\psi}_{p} \gamma^{\mu} \psi_{n} ig) ig( \overline{\psi}_{e} ig( 1 + \gamma^{5} ig) \gamma_{\mu} \psi_{
u} ig) + C_{A} ig( \overline{\psi}_{p} \gamma^{5} \gamma^{\mu} \psi_{n} ig) ig( \overline{\psi}_{e} ig( 1 + \gamma^{5} ig) \gamma_{\mu} \psi_{
u} ig) ig]$$

• Infine raccogliamo la parte leptonica

$$\mathcal{H}_{I}' = G \left[ C_{V} \left( \overline{\psi}_{p} \gamma^{\mu} \psi_{n} \right) + C_{A} \left( \overline{\psi}_{p} \gamma^{5} \gamma^{\mu} \psi_{n} \right) \right] \left( \overline{\psi}_{e} \left( 1 + \gamma^{5} \right) \gamma_{\mu} \psi_{\nu} \right)$$

### L'Hamiltoniana del Decadimento eta

$$\mathcal{H}_{I}' = G\left[C_{V}\left(\overline{\psi}_{p}\gamma^{\mu}\psi_{n}\right) + C_{A}\left(\overline{\psi}_{p}\gamma^{5}\gamma^{\mu}\psi_{n}\right)\right]\left(\overline{\psi}_{e}\left(1 + \gamma^{5}\right)\gamma_{\mu}\psi_{\nu}\right)$$

Possiamo ulteriormente semplificare

$$\mathcal{H}'_{I} = G(\bar{\psi}_{p}(C_{V} + C_{A}\gamma^{5})\gamma^{\mu}\psi_{n})(\bar{\psi}_{e}(1 + \gamma^{5})\gamma_{\mu}\psi_{\nu})$$

E ancora

$$\mathcal{H}_{I}' = GC_{V}\left(\overline{\psi}_{p}\left(1 + \kappa \gamma^{5}\right) \gamma^{\mu} \psi_{n}\right) \left(\overline{\psi}_{e}\left(1 + \gamma^{5}\right) \gamma_{\mu} \psi_{\nu}\right)$$

- Come abbiamo già detto  $\kappa=1.27$  e  $GC_{V}$   $\equiv G_{eta}$ 
  - Il valore di  $\kappa$  diverso da 1 dipende dal fatto che il nucleone non è una particella puntiforme
    - Il protone ha una struttura
    - Ritorneremo su questo punto in seguito
- ullet Per il momento trascuriamo questo aspetto e assumiamo  $\kappa=1$ 
  - Ciò risulta esatto per particelle puntiformi, ad esempio per i quark

$$\mathcal{H}_{I}' = G_{\beta} \overline{\psi}_{p} \left( 1 + \gamma^{5} \right) \gamma^{\mu} \psi_{n} \cdot \overline{\psi}_{e} \left( 1 + \gamma^{5} \right) \gamma_{\mu} \psi_{\nu}$$

• In una notazione più moderna è diventato abituale spostare la matrice  $\gamma^\mu$  a sinistra

$$\mathcal{H}_{I}^{\prime} = G_{eta} \overline{\psi}_{p} \gamma^{\mu} \left(1 - \gamma^{5}\right) \psi_{n} \cdot \overline{\psi}_{e} \gamma_{\mu} \left(1 - \gamma^{5}\right) \psi_{
u}$$

## L'Hamiltoniana del Decadimento eta

- Definiamo due generiche correnti (sia adronica che leptonica)
  - Una corrente Vettoriale  $J_V^\mu = \overline{\psi} \gamma^\mu \psi$
  - Una corrente Assiale  $J_A^\mu = \overline{\psi} \gamma^\mu \gamma^5 \psi$
- Le due correnti (adronica e leptonica) compaiono nell'Hamiltoniana nella combinazione  $J^\mu = J_V^\mu J_A^\mu.$ 
  - È questa la famosa forma V-A delle correnti deboli (cariche)
- Infine, per uniformarci alle notazioni maggiormente utilizzate ridefiniamo la costante di accoppiamento dell'interazione
  - La costante G è stata definita da Fermi prima della scoperta della violazione della parità
    - La generalizzazione dell'interazione di Fermi e l'introduzione della violazione della parità hanno condotto ad una Hamiltoniana che contiene la differenza di due correnti  $(V\!-\!A)$
  - Per mantenere la stessa definizione di Fermi è necessario dividere G per  $\sqrt{2}$

$$\mathcal{H}_{I}' = \frac{G_{\beta}}{\sqrt{2}} \overline{\psi}_{p} \gamma^{\mu} \left(1 - \gamma^{5}\right) \psi_{n} \cdot \overline{\psi}_{e} \gamma_{\mu} \left(1 - \gamma^{5}\right) \psi_{\nu}$$

Esaminiamo in maggiore dettaglio la corrente leptonica

$$l^{\mu}(x) = \overline{\psi}_e(x) \gamma^{\mu} \left(1 - \gamma^5\right) \psi_{\nu}(x)$$

• L'elemento di matrice di  $l^{\mu}(0)$  fra il vuoto e lo stato $|e^-\overline{
u}_e
angle$  è

$$\langle e^{-}\overline{\nu}_{e} | l^{\mu}(0) | 0 \rangle = \overline{u}_{p_{e}} \gamma^{\mu} (1 - \gamma^{5}) v_{p_{\nu}}$$

- Abbiamo già calcolato l'elemento di matrice di un operatore simile nel caso del decadimento  $\beta$  (slide 298)
- Vediamo le conseguenze della presenza della matrice  $1-\gamma^5$ 
  - In particolare cosa implica per l'elettrone
    - Abbiamo visto che nel decadimento eta gli elettroni sono polarizzati
- Trasportiamo la matrice  $1-\gamma^5$  a sinistra

$$\overline{u}_{p_e} \gamma^{\mu} \left(1 - \gamma^5\right) v_{p_{\nu}} = \overline{u}_{p_e} \left(1 + \gamma^5\right) \gamma^{\mu} v_{p_{\nu}} = u_{p_e}^{\dagger} \gamma^0 \left(1 + \gamma^5\right) \gamma^{\mu} v_{p_{\nu}}$$

$$= u_{p_e}^{\dagger} \left(1 - \gamma^5\right) \gamma^0 \gamma^{\mu} v_{p_{\nu}} = \left[\left(1 - \gamma^5\right) u_{p_e}\right]^{\dagger} \gamma^0 \gamma^{\mu} v_{p_{\nu}} = \overline{\left[\left(1 - \gamma^5\right) u_{p_e}\right]} \gamma^{\mu} v_{p_{\nu}}$$

- Dimostriamo adesso che l'applicazione di  $1-\gamma^5$  allo spinore u(p) produce un elettrone con polarizzazione  $\beta$ 
  - $\beta$  è la velocità dell'elettrone

Ricordiamo la definizione dell'operatore elicità

$$\hat{h}(\hat{\mathbf{n}}) = \frac{\mathbf{\Sigma} \cdot \mathbf{p}}{|\mathbf{p}|} = \mathbf{\Sigma} \cdot \hat{\mathbf{n}} \qquad \hat{\mathbf{n}} = \frac{\mathbf{p}}{|\mathbf{p}|}$$

- Nel seguito utilizzeremo la rappresentazione di Dirac
  - ullet In questa rappresentazione l'operatore  $\Sigma$  è
- Consideriamo gli spinori  $u_{\scriptscriptstyle \perp}$  e  $u_{\scriptscriptstyle \perp}$

$$u_{+} = N \begin{pmatrix} \chi_{+} \\ \frac{\mathbf{\sigma} \cdot \mathbf{p} \chi_{+}}{E + m} \end{pmatrix} = N \begin{pmatrix} \chi_{+} \\ \frac{p \chi_{+}}{E + m} \end{pmatrix} \qquad u_{-} = N \begin{pmatrix} \chi_{-} \\ \frac{\mathbf{\sigma} \cdot \mathbf{p} \chi_{-}}{E + m} \end{pmatrix} = N \begin{pmatrix} \chi_{-} \\ \frac{-p \chi_{-}}{E + m} \end{pmatrix} \qquad N = \sqrt{E + m}$$

- $\chi_{\!\scriptscriptstyle \pm}$  sono spinori bidimensionali autovettori di  $\sigma \cdot \hat{\mathbf{n}}$
- Si verifica facilmente che gli spinori  $u_\pm$  sono autostati dell'elicità  $\sigma\cdot\hat{\mathbf{n}}\chi_+=\pm\chi_+$

$$\mathbf{\sigma} \cdot \hat{\mathbf{n}} \chi_{\pm} = \pm \chi_{\pm}$$

• Infatti

$$\begin{array}{ccc} \mathbf{\hat{a}}\mathbf{T}\mathbf{\hat{n}} & \\ \mathbf{\Sigma}\cdot\hat{\mathbf{n}} \ u_{+} = \begin{pmatrix} \mathbf{\sigma}\cdot\hat{\mathbf{n}} & \mathbf{0} \\ \mathbf{0} & \mathbf{\sigma}\cdot\hat{\mathbf{n}} \end{pmatrix} N \begin{pmatrix} \chi_{+} \\ p\chi_{+} \\ E+m \end{pmatrix} & = N \begin{pmatrix} \mathbf{\sigma}\cdot\hat{\mathbf{n}}\chi_{+} \\ p\mathbf{\sigma}\cdot\hat{\mathbf{n}}\chi_{+} \\ E+m \end{pmatrix} & = +N \begin{pmatrix} \chi_{+} \\ p\chi_{+} \\ E+m \end{pmatrix} \end{array}$$

$$\Sigma \cdot \mathbf{n} u_+ = +u_+$$

$$\mathbf{\Sigma} \cdot \mathbf{n} \, u_+ = + u_+$$
 e analogamente  $\mathbf{\Sigma} \cdot \hat{\mathbf{n}} \, u_- = - u_-$ 

• In definitiva, per  $\lambda = \pm 1$ 

$$\sum \cdot \hat{\mathbf{n}} \, u_{\lambda} = \lambda u_{\lambda}$$



- Il risultato precedente significa che  $u_+$  rappresentano spinori completamente polarizzati (  $\wp = 100\%$  )
  - $u_{\scriptscriptstyle +}$  è uno spinore con polarizzazione 100% in direzione parallela a  ${
    m p}$
  - $u_{-}$  è uno spinore con polarizzazione 100% in direzione antiparallela a p
- Consideriamo adesso un arbitrario spinore nella rappresentazione di Dirac ( non necessariamente normalizzato)

$$egin{align} u(p) &= N egin{pmatrix} \chi \ oldsymbol{\sigma} \cdot \mathbf{p} \chi \ E + m \end{pmatrix} & egin{pmatrix} u_R &= rac{1}{2} ig(1 + \gamma^5ig) u \ u_L &= rac{1}{2} ig(1 - \gamma^5ig) u \end{bmatrix}$$

$$u_L = \frac{1}{2} (1 - \gamma^5) u$$

- Definiamo le proiezioni chirali  $u_R$  e  $u_L$ 
  - Ricordiamo la forma di  $\gamma^5$  nella rappresentazione di Dirac

$$\gamma^5 = \begin{pmatrix} 0 & I \\ I & 0 \end{pmatrix} \qquad 1 - \gamma^5 = \begin{pmatrix} I & -I \\ -I & I \end{pmatrix} \qquad 1 + \gamma^5 = \begin{pmatrix} I & I \\ I & I \end{pmatrix}$$

Otteniamo

$$u_L = rac{1}{2} (1 - \gamma^5) u(p) = rac{N}{2} egin{pmatrix} I & -I \ -I & I \end{pmatrix} egin{pmatrix} \chi \ rac{oldsymbol{\sigma} \cdot \mathbf{p} \chi}{E+m} \end{pmatrix} = rac{N}{2} egin{pmatrix} \left( 1 - rac{oldsymbol{\sigma} \cdot \mathbf{p}}{E+m} 
ight) \chi \ - \left( 1 - rac{oldsymbol{\sigma} \cdot \mathbf{p}}{E+m} 
ight) \chi \end{pmatrix}$$

• Notiamo che le componenti superiori dello spinore e quelle inferiori non sono più indipendenti



- ullet Osserviamo inoltre che lo spinore  $u_L$  non  $\dot{ullet}$  un autostato dell'operatore elicità h
  - Tuttavia, si può verificare esplicitamente che il valore medio dell'elicità è

$$\langle h \rangle_L = \frac{\langle u_L \mid \widehat{h} \mid u_L \rangle}{\langle u_L \mid u_L \rangle} = -\frac{p}{E} = -\beta$$

ullet Consideriamo adesso  $u_R$ 

$$u_{R} = \frac{1}{2} (1 + \gamma^{5}) u(p) = \begin{pmatrix} I & I \\ I & I \end{pmatrix} \begin{pmatrix} \chi \\ \frac{\boldsymbol{\sigma} \cdot \mathbf{p} \chi}{E + m} \end{pmatrix} = \begin{pmatrix} \left(1 + \frac{\boldsymbol{\sigma} \cdot \mathbf{p}}{E + m}\right) \chi \\ \left(1 + \frac{\boldsymbol{\sigma} \cdot \mathbf{p}}{E + m}\right) \chi \end{pmatrix}$$

· Analogamente al caso precedente si può verificare che

$$\langle h \rangle_R = \frac{\langle u_R \mid \widehat{h} \mid u_R \rangle}{\langle u_R \mid u_R \rangle} = + \frac{p}{E} = +\beta$$

- ullet Pertanto gli spinori  $u_L$  e  $u_R$ 
  - Non sono autostati dell'operatore elicità
  - Tuttavia rappresentano stati con polarizzazione parziale  $\wp=\pm eta$ 
    - Notiamo infine che per eta o 1 la polarizzazione diventa completa e le due proiezioni chirali diventano autostati dell'elicità

- Abbiamo pertanto ritrovato il risultato sulla polarizzazione  $\beta$  che avevamo ottenuto precedentemente con il calcolo esplicito dell'elemento di matrice
  - Possiamo vedere una ulteriore motivazione per la polarizzazione degli elettroni come il risultato della struttura V-A della corrente leptonica
    - L'operatore  $1-\gamma^5$  proietta uno spinore arbitrario in uno stato di polarizzazione parziale longitudinale left-handed
  - ullet Ribadiamo inoltre che la polarizzazione diventa completa quando eta 
    ightarrow 1
- Le notazioni  $u_R$  e  $u_L$  per indicare le proiezioni chirali possono generare confusione
  - Bisogna tenere distinti i concetti di chiralità e elicità
- L'Hamiltoniano delle interazioni deboli contiene le proiezioni chirali
  - Ritorneremo presto su questo punto



#### Particelle di massa nulla

- · Vale la pena approfondire il caso di particelle con massa nulla
  - In questo caso proiezioni di spin e proiezioni chirali coincidono
- Ricordiamo l'equazione di Dirac per gli spinori in forma Hamiltoniana

$$(\mathbf{\alpha} \cdot \mathbf{p} + \beta m)u = Eu$$

ullet Per una particella di massa nulla (es. il neutrino) l'equazione diventa ( $|\mathbf{p}|=p$ )

$$\mathbf{\alpha} \cdot \mathbf{p}u = Eu \qquad \qquad \frac{\mathbf{\alpha} \cdot \mathbf{p}}{p}u = u$$

- Abbiamo scelto la soluzione con energia positiva e usato il fatto che se m=0 allora  $E=|\mathbf{p}|=p$
- Utilizziamo adesso la rappresentazione di Dirac

$$\boldsymbol{\alpha} = \begin{pmatrix} \mathbf{0} & \boldsymbol{\sigma} \\ \boldsymbol{\sigma} & \mathbf{0} \end{pmatrix} \qquad \qquad \gamma^5 = \begin{pmatrix} 0 & I \\ I & 0 \end{pmatrix} \qquad \qquad \boldsymbol{\alpha} \gamma^5 = \gamma^5 \boldsymbol{\alpha} = \boldsymbol{\Sigma} = \begin{pmatrix} \boldsymbol{\sigma} & \mathbf{0} \\ \mathbf{0} & \boldsymbol{\sigma} \end{pmatrix}$$

• Moltiplicando per  $\gamma^5$  l'ultima forma dell'equazione di Dirac otteniamo

$$\gamma^5 \frac{\mathbf{\alpha} \cdot \mathbf{p}}{p} u = \gamma^5 u \qquad \boxed{\frac{\mathbf{\Sigma} \cdot \mathbf{p}}{p} u = \gamma^5 u}$$

#### Particelle di massa nulla

• Analogamente, ricordando che  $(\gamma^5)^2=I$  otteniamo

$$\frac{\mathbf{\alpha} \cdot \mathbf{p}}{p} \gamma^5 \gamma^5 u = u \qquad \boxed{\frac{\mathbf{\Sigma} \cdot \mathbf{p}}{p} \gamma^5 u = u}$$

• Sommiamo l'ultima equazione all'ultima della diapositiva precedente  $\frac{\mathbf{\Sigma} \cdot \mathbf{p}}{p} u = \gamma^5 u$ 

$$\frac{\mathbf{\Sigma} \cdot \mathbf{p}}{p} \left( 1 + \gamma^5 \right) u = \left( 1 + \gamma^5 \right) u$$

• Da cui

$$\frac{\mathbf{\Sigma} \cdot \mathbf{p}}{p} u_R = u_R$$

• Se invece sottraiamo

$$\frac{\mathbf{\Sigma} \cdot \mathbf{p}}{p} u - \frac{\mathbf{\Sigma} \cdot \mathbf{p}}{p} \gamma^5 u = \gamma^5 u - u \qquad \frac{\mathbf{\Sigma} \cdot \mathbf{p}}{p} (1 - \gamma^5) u = (\gamma^5 - 1) u$$

• Da cui

$$\frac{\mathbf{\Sigma} \cdot \mathbf{p}}{p} u_L = -u_L$$

 Pertanto, come anticipato, nel caso di massa nulla le proiezioni chirali di una soluzione dell'equazione di Dirac coincidono con gli autostati di elicità

$$u_R = u_+$$

$$u_L = u_-$$

427

## Rappresentazione Chirale delle matrici $\gamma$

- La rappresentazione di Dirac delle matrici  $\gamma$  è utile stata per discutere il limite non relativistico dell'equazione di Dirac
- Se si vogliono mettere in evidenza altri aspetti sono più convenienti altre rappresentazioni
  - Ad esempio il limite di alta energia o, equivalentemente, il limite di massa nulla
  - Aspetti legati alla handedness o Chiralità
- In questi casi è conveniente la rappresentazione Chirale o di Weyl<sup>†</sup>

$$\alpha = \begin{pmatrix} \mathbf{\sigma} & \mathbf{0} \\ \mathbf{0} & -\mathbf{\sigma} \end{pmatrix} \qquad \beta = \gamma^0 = \begin{pmatrix} 0 & I \\ I & 0 \end{pmatrix} \qquad \gamma = \gamma^0 \alpha = \begin{pmatrix} 0 & -\mathbf{\sigma} \\ \mathbf{\sigma} & 0 \end{pmatrix} \qquad \gamma^5 = \begin{pmatrix} I & 0 \\ 0 & -I \end{pmatrix}$$

$$\alpha \gamma^5 = \gamma^5 \alpha = \mathbf{\Sigma} = \begin{pmatrix} \mathbf{\sigma} & \mathbf{0} \\ \mathbf{0} & \mathbf{\sigma} \end{pmatrix} \qquad \frac{1}{2} (1 + \gamma^5) = \begin{pmatrix} I & \mathbf{0} \\ \mathbf{0} & \mathbf{0} \end{pmatrix} \qquad \frac{1}{2} (1 - \gamma^5) = \begin{pmatrix} \mathbf{0} & \mathbf{0} \\ \mathbf{0} & I \end{pmatrix}$$

- ullet Nella rappresentazione di Weyl si separano le proiezioni chirali R e L degli spinori
- Nella rappresentazione di Dirac si separano le componenti Large e Small legate al limite non relativistico
- †Attenzione: la rappresentazione qui riportata è conforme a quella utilizzata nel libro di testo (Aitchison-Hey)
   Nel Peskin-Schoeder e nelle notes di Hitoshi Murayama viene utilizzata una convenzione differente

## Rappresentazione Chirale

• Studiamo l'equazione di Dirac nella rappresentazione chirale

$$(\mathbf{\alpha} \cdot \mathbf{p} + \beta m)\psi = E\psi$$

• Utilizziamo la rappresentazione chirale e la rappresentazione a blocchi dello spinore

$$\psi = \begin{pmatrix} \chi \\ \phi \end{pmatrix}$$

· L'equazione diventa

$$\mathbf{\alpha} = \begin{pmatrix} \mathbf{\sigma} \cdot \mathbf{p} & \mathbf{0} \\ \mathbf{0} & -\mathbf{\sigma} \cdot \mathbf{p} \end{pmatrix} \begin{pmatrix} \chi \\ \phi \end{pmatrix} - E \begin{pmatrix} \chi \\ \phi \end{pmatrix} = -m \begin{pmatrix} 0 & I \\ I & 0 \end{pmatrix} \begin{pmatrix} \chi \\ \phi \end{pmatrix}$$

• L'equazione matriciale corrisponde alle due equazioni accoppiate

$$\mathbf{\sigma} \cdot \mathbf{p}\chi - E\chi = -m\phi$$
 nella rappresentazione di  $\mathbf{\sigma} \cdot \mathbf{p}\phi - E\chi = -m\chi$   $\mathbf{\sigma} \cdot \mathbf{p}\phi + E\phi = +m\chi$  Dirac avevamo trovato  $\mathbf{\sigma} \cdot \mathbf{p}\chi - E\phi = +m\phi$ 

- ullet Notiamo un aspetto interessante del limite di massa nulla m=0
  - Nella rappresentazione di Weyl le equazioni per  $\chi$  e  $\phi$  si disaccoppiano
  - Nella rappresentazione di Dirac le due equazioni rimangono accoppiate anche nel caso limite di massa nulla

#### Particelle di massa nulla

• Nel caso di massa nulla le equazioni diventano ( $E = |\mathbf{p}| = p \quad \hat{\mathbf{p}} = \mathbf{p} / p$ )

$$\mathbf{\sigma} \cdot \mathbf{p} \chi - E \chi = 0$$

$$\mathbf{\sigma} \cdot \mathbf{p}\phi + E\phi = 0$$



$$\mathbf{\sigma} \cdot \hat{\mathbf{p}} \chi = +\chi$$

$$\mathbf{\sigma} \cdot \hat{\mathbf{p}}\phi = -\phi$$

- Vediamo pertanto che i due spinori bidimensionali  $\chi$  e  $\phi$  sono autostati dell'elicità
- Inoltre nella rappresentazione chirale i due operatori di proiezione sono

$$\frac{1}{2}(1-\gamma^5) = \frac{1}{2} \begin{bmatrix} I & 0 \\ 0 & I \end{bmatrix} - \begin{bmatrix} I & 0 \\ 0 & -I \end{bmatrix} = \begin{bmatrix} 0 & 0 \\ 0 & I \end{bmatrix} \qquad \frac{1}{2}(1+\gamma^5) = \begin{bmatrix} I & 0 \\ 0 & 0 \end{bmatrix}$$

$$\frac{1}{2}(1+\gamma^5) = \begin{pmatrix} I & 0\\ 0 & 0 \end{pmatrix}$$

Applicando i due operatori allo spinore generico

$$\psi = \begin{pmatrix} \chi \\ \phi \end{pmatrix}$$

$$\psi = \begin{pmatrix} \chi \\ \phi \end{pmatrix} \qquad \psi_R = \frac{1}{2} (1 + \gamma^5) \psi = \begin{pmatrix} \chi \\ 0 \end{pmatrix} \qquad \psi_L = \frac{1}{2} (1 - \gamma^5) \psi = \begin{pmatrix} 0 \\ \phi \end{pmatrix}$$

$$\psi_L = \frac{1}{2} (1 - \gamma^5) \psi = \begin{pmatrix} 0 \\ \phi \end{pmatrix}$$

• Notiamo infine che i due spinori  $\psi_L$  e  $\psi_R$  sono anche autovettori dell'operatore  $\gamma^5$  (operatore chiralità) con autovalori +1 e -1

$$\gamma^5 \psi_R = +\psi_R \qquad \qquad \gamma^5 \psi_L = -\psi_L$$

$$\gamma^5 \psi_L = -\psi_L$$

- Abbiamo già notato che per m=0 chiralità ed elicità coincidono
- Per una massa non nulla sono due proprietà differenti
  - Elicità o polarizzazione completa Chiralità o polarizzazione parziale  $\wp=eta$

- La separazione delle due componenti è specifica delle rappresentazioni chirali
- Tuttavia molte delle altre proprietà viste sono indipendenti dalla massa e dalla rappresentazione
  - Consideriamo ancora i due proiettori

$$\hat{P}_R = \frac{1}{2}(1+\gamma^5)$$
  $\hat{P}_L = \frac{1}{2}(1-\gamma^5)$   $\hat{P}_R\hat{P}_L = 0$   $\hat{P}_R + \hat{P}_L = \hat{I}$ 

ullet Si può sempre scomporre uno spinore in due componenti chirali  $\psi=\psi_L+\psi_R$ 

$$\psi_R = \frac{1}{2} (1 + \gamma^5) \psi = \widehat{P}_R \psi \qquad \qquad \psi_L = \frac{1}{2} (1 - \gamma^5) \psi = \widehat{P}_L \psi$$

ullet Le due componenti chirali di  $\psi$  sono autovettori d $ar{ar{i}}$   $\dot{\gamma}^5$ 

$$\gamma^5 \psi_R = \frac{1}{2} \gamma^5 (1 + \gamma^5) \psi = \frac{1}{2} (\gamma^5 + 1) \psi = +\psi_R$$

$$\gamma^5 \psi_L = \frac{1}{2} \gamma^5 (1 - \gamma^5) \psi = \frac{1}{2} (\gamma^5 - 1) \psi = -\psi_L$$

- In generale le due componenti non sono soluzioni dell'equazione di Dirac
  - Osserviamo che, dato che  $\{\gamma^5,\gamma^\mu\}=0, \quad P_R\gamma^\mu=\gamma^\mu P_L \quad \ \ e \quad \ \ P_L\gamma^\mu=\gamma^\mu P_R$
- Pertanto se  $(p m)\psi = 0 \Longrightarrow (p m)\psi_R = (p m)\hat{P}_R\psi = (\hat{P}_L p \hat{P}_R m)\psi \neq 0$ 
  - · Analogamente per l'altra componente
- ullet Tuttavia se m=0 le due componenti sono soluzioni dell'equazione di Dirac

$$p\psi=0$$
  $\Rightarrow$   $p\psi_R=p\hat{P}_R\psi=\hat{P}_Lp\psi=0$ 

## Proiezioni chirali e antiparticelle

- ullet Discutiamo adesso le proiezioni chirali degli spinori v associati alle soluzioni con energia negativa
  - Abbiamo già notato che l'associazione dell'elicità fisica +1 agli autovalori dell'operatore  $\Sigma \cdot \mathbf{p}$  è opposta a quella degli spinori u
    - Va comunque ricordato che la polarizzazione calcolata con l'elemento di matrice ha sempre il segno corretto, sia che si producano particelle (ad esempio  $e^-$ ) o antiparticelle (ad esempio  $e^+$ )
    - I proiettori di spin covarianti sono stati costruiti in modo da tenere conto dell'inversione di segno
  - Analogamente a quanto succede per l'elicità risulta anche invertito il segno della polarizzazione associata alle proiezioni chirali L e R
- · Questo aspetto è evidente nel caso di particelle di massa nulla
  - · Consideriamo ancora l'equazione di Dirac nella rappresentazione chirale

$$\mathbf{\sigma} \cdot \mathbf{p}\chi - p_0\chi = 0$$
 nel caso di soluzione con  $\mathbf{\sigma} \cdot \mathbf{p}\chi + E\chi = 0$   $\mathbf{\sigma} \cdot \mathbf{p}\phi + p_0\phi = 0$  nel caso di soluzione con energia negativa  $p_0 = -E$   $\mathbf{\sigma} \cdot \mathbf{p}\phi - E\phi = 0$ 

• Pertanto, per le soluzioni di energia negativa, le relazioni diventano

$$\sigma \cdot \hat{\mathbf{p}}\chi = -\chi$$

$$\sigma \cdot \hat{\mathbf{p}}\phi = +\phi$$
Per le antiparticelle l'elicità delle proiezioni (spinori  $\chi$  e  $\phi$ ) è scambiata

## Proiezioni chirali e antiparticelle

- ullet La conseguenza fisica di quanto detto  $\dot{ullet}$  che nel decadimento eta
  - La particelle sono emesse con polarizzazione -eta: ad esempio l'elettrone
  - Le antiparticelle sono emesse con polarizzazione  $+\beta$ : ad esempio il neutrino
- Per finire osserviamo che nel decadimento  $\beta$  l'elicità dell'antineutrino è sempre right-handed (vedi diapositiva 424 e seguente)
  - Ricordiamo l'elemento di matrice

$$\langle e^{-}\overline{\nu}_{e} | l^{\mu}(0) | 0 \rangle = \overline{u}_{p_{e}} \gamma^{\mu} (1 - \gamma^{5}) v_{p_{\nu}}$$

• Lo spinore v si può scomporre

$$v = v_L + v_R = \frac{1}{2} (1 - \gamma^5) v + \frac{1}{2} (1 + \gamma^5) v$$

• Calcoliamo l'effetto dell'operatore  $1-\gamma^5$  presente nell'elemento di matrice

$$\begin{array}{ll} \left(1-\gamma^{5}\,\right)v &= \left(1-\gamma^{5}\,\right)\!\left[\frac{1}{2}\!\left(1+\gamma^{5}\,\right) + \frac{1}{2}\!\left(1-\gamma^{5}\,\right)\!\right]v \\ &= \frac{1}{2}\!\left(1-\gamma^{5}\,\right)\!\left(1-\gamma^{5}\,\right)v \,+ \frac{1}{2}\!\left(1-\gamma^{5}\,\right)\!\left(1+\gamma^{5}\,\right)v = \left(1-\gamma^{5}\,\right)v_{L} \end{array}$$

- Pertanto nel decadimento  $\beta$ 
  - ullet L'elicità dell'antineutrino  $\dot{f e}$  sempre RH
  - L'elicità del neutrino è sempre LH

- ullet Chiralità L
- Elicità RH(+)

# Violazione della parità e momento angolare

- Abbiamo visto che la presenza dell'operatore  $1-\gamma^5$  determina una polarizzazione nei leptoni prodotti nel decadimento  $\beta$ 
  - Fermioni left-handed
  - Anti-fermioni right-handed
- Questa circostanza ci permette di dare un'interpretazione interessante dei risultati sulle correlazioni angolari nel decadimento  $\beta$

$$n \to p + e^- + \overline{\nu}$$

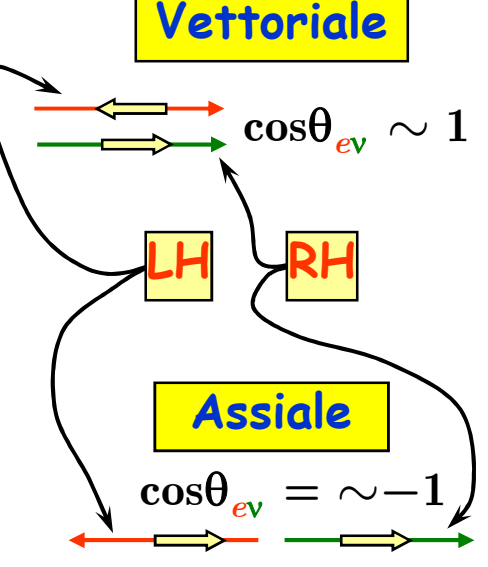
· La correlazione angolare è una conseguenza della conservazione del momento

angolare e del fatto che i due leptoni sono polarizzati

• Abbiamo infatti visto che le transizioni di Fermi non cambiano il momento angolare del nucleo

• I leptoni pertanto sono in uno stato di singoletto e il momento angolare emesso è  ${\rm S}=0$ 

- Per le transizioni di Gamov-Teller invece il momento angolare nucleare varia di una unità
  - I leptoni sono adesso in uno stato di tripletto e il momento angolare emesso è  ${\rm S}=1$



### Le Correnti chirali Left-Handed

· Ci sono altre osservazioni che si possono fare sulla corrente

$$J^{\mu} = \overline{\psi}_a \gamma^{\mu} \left( 1 - \gamma^5 \right) \psi_b$$

· Osserviamo che

$$\frac{1}{2}(1-\gamma^5)\frac{1}{2}(1-\gamma^5) = \frac{1}{4}(1-2\gamma^5+(\gamma^5)^2) = \frac{1}{4}(2-2\gamma^5) = \frac{1}{2}(1-\gamma^5)$$

$$\frac{1}{2}(1-\gamma^5)\frac{1}{2}(1-\gamma^5) = \frac{1}{2}(1-\gamma^5)$$

• Possiamo pertanto scrivere

$$\begin{split} \overline{\psi}_{a}\gamma^{\mu} \left(1-\gamma^{5}\right) \psi_{b} &= 2 \overline{\psi}_{a} \gamma^{\mu} \frac{1}{2} \left(1-\gamma^{5}\right) \psi_{b} \\ &= 2 \overline{\psi}_{a} \gamma^{\mu} \frac{1}{2} \left(1-\gamma^{5}\right) \psi_{b} \\ &= 2 \overline{\psi}_{a} \frac{1}{2} \left(1+\gamma^{5}\right) \gamma^{\mu} \frac{1}{2} \left(1-\gamma^{5}\right) \psi_{b} \\ &= 2 \psi_{a}^{\dagger} \gamma^{0} \frac{1}{2} \left(1+\gamma^{5}\right) \gamma^{\mu} \frac{1}{2} \left(1-\gamma^{5}\right) \psi_{b} \\ &= 2 \psi_{a}^{\dagger} \frac{1}{2} \left(1-\gamma^{5}\right) \gamma^{0} \gamma^{\mu} \frac{1}{2} \left(1-\gamma^{5}\right) \psi_{b} \\ &= 2 \left[\frac{1}{2} \left(1-\gamma^{5}\right) \psi_{a}\right]^{\dagger} \gamma^{0} \gamma^{\mu} \frac{1}{2} \left(1-\gamma^{5}\right) \psi_{b} \end{split}$$

### Le Correnti chirali Left-Handed

$$J^{\mu} = 2 \left[ \frac{1}{2} (1 - \gamma^5) \psi_a \right]^{\dagger} \gamma^0 \gamma^{\mu} \frac{1}{2} (1 - \gamma^5) \psi_b$$

• Introduciamo le proiezioni chirali Left degli operatori di campo

$$\psi_L = \frac{1}{2} \left( 1 - \gamma^5 \right) \psi$$

Inserendo nella corrente abbiamo

$$J^{\mu} = 2 \left[ \psi_{aL} \right]^{\dagger} \gamma^{0} \gamma^{\mu} \psi_{bL} = 2 \overline{\psi}_{aL} \gamma^{\mu} \psi_{bL}$$

$$J^{\mu} = 2\overline{\psi}_{aL}\gamma^{\mu}\psi_{bL}$$

- Pertanto un altro modo di sintetizzare i risultati sperimentali sui decadimenti deboli è
  - Solo le proiezioni chirali Left dei fermioni partecipano ai decadimenti deboli

chiralità non elicità

- ullet Attenzione, solo per le correnti cariche mediate dai bosoni  $W^\pm$
- Nel modello standard questa affermazione si traduce nel limitare il gruppo di simmetria  $\mathrm{SU}(2)$  dell'isospin debole alle componenti LH dei campi  $SU(2)_L$

### Le Correnti chirali Left-Handed

- Per finire una interessante osservazione dovuta a Feynman e Gell-Man
  - ullet Se solo le proiezioni chirali LH dei campi partecipano all'interazione debole allora i tipi possibili di interazione sono solamente V e A
- Infatti nella corrente i vari tipi operatore compaiono nella forma

$$\frac{1}{2}(1+\gamma^5)\Gamma_X\frac{1}{2}(1-\gamma^5)$$
 NB:  $\bar{\psi}_L=\bar{\psi}\frac{1}{2}(1+\gamma^5)$ 

- Questa espressione si annulla per X=S,T (scalare e tensore)
  - X = S:  $\Gamma_X = I$

$$\frac{1}{2}(1+\gamma^5)\frac{1}{2}(1-\gamma^5) = \frac{1}{4}(1-(\gamma^5)^2) = \frac{1}{4}(1-1) = 0$$

• X=T:  $\Gamma_T=\gamma^\mu\gamma^
u$ 

$$\frac{1}{2}(1+\gamma^5)\gamma^{\mu}\gamma^{\nu}\frac{1}{2}(1-\gamma^5) = \frac{1}{4}(1+\gamma^5)(1-\gamma^5)\gamma^{\mu}\gamma^{\nu} = 0$$

ullet Viceversa, per X=V e X=A gli operatori non si annullano

$$\frac{1}{2}(1+\gamma^5)\gamma^{\mu}\frac{1}{2}(1-\gamma^5) = \gamma^{\mu}\frac{1}{2}(1-\gamma^5)\frac{1}{2}(1-\gamma^5) = \gamma^{\mu}\frac{1}{2}(1-\gamma^5) \neq 0$$

$$\frac{1}{2}(1+\gamma^5)\gamma^5\gamma^{\mu}\frac{1}{2}(1-\gamma^5) = \frac{1}{2}\gamma^5(1+\gamma^5)\gamma^{\mu}\frac{1}{2}(1-\gamma^5) = \frac{1}{4}(1+\gamma^5)^2\gamma^{\mu} \neq 0$$